

การวิเคราะห์วงจรไฟฟ้าสมมูล BVD ของสาร PZT ด้วยวิธีอิมพีเดนซ์ Analysis of BVD Equivalent Circuit of PZT using Impedance Technique

นรินทร์ ธรรมารักษ์¹⁾ นฤนาท ศิลากุปต์²⁾ และวิชรุต ศรีรัตน์³⁾

บทคัดย่อ

บทความนี้นำเสนอบริการวิเคราะห์วงจรสมมูลของสารเพียวโซอิเล็กตริกเซรามิกแบบ BVD [1] โดยการเตรียมสารเลเซอร์โโคเนตไททานเนต (PZT) ลักษณะเป็นแผ่นวงกลมที่มีการสั่นในโหมดความหนา และวิเคราะห์หาค่าอิมพีเดนซ์จากเครื่องวัดค่าอิมพีเดนซ์รุ่น HP4192 และ HP4194 โดยการคำนวณหาค่าพารามิเตอร์ของวงจร BVD ประกอบด้วย 3 วิธี ได้แก่ การคำนวณจากค่าที่วัดได้ด้วยโปรแกรมภายในเครื่อง HP4194, การคำนวณโดยใช้วิธีของ IEEE 176-1987 จากค่าอิมพีเดนซ์ที่วัดด้วยเครื่อง HP4192 และการคำนวณด้วยวิธีอิมพีเดนซ์ซึ่งเป็นวิธีใหม่ในการประมาณค่าเรียกแต่งซึ่งความถี่ต่ำกว่าความถี่อิมพีเดนซ์ หลังจากนั้นนำค่าที่ได้จากการคำนวณด้วยวิธีอิมพีเดนซ์ไปตรวจสอบความถูกต้องโดยการเปรียบเทียบกับวงจร BVD ที่หาได้จาก 2 วิธีแรก โดยใช้การทดลองความคุณและเปลี่ยนแปลงค่าอุณหภูมิของสาร PZT เป็นกรณีศึกษาเพื่อวิเคราะห์ปัจจัยเงื่อนไขของอุณหภูมิที่มีผลต่อค่าพารามิเตอร์ของวงจร BVD โดยพิจารณาการเปลี่ยนแปลงของค่าพารามิเตอร์ซึ่งประกอบไปด้วย R_1 , C_1 , C_0 และ L_1 ตามลำดับ

คำสำคัญ : สาร PZT, วงจร BVD, อิมพีเดนซ์, ความถี่เรโซโนนنس, ความถี่แอนติเรโซโนนنس

Abstract

This paper presents a study of equivalent circuit analysis of Piezo-electronic ceramic type Butterworth Van Dyke (BVD). Round-shape lead zirconate titanate (PZT) with thick-mode vibration was chosen in this study and the impedance meters model HP4192 and HP4194 was used for impedance analysis. The measured results from HP4194 were taken to analyze for BVD equivalent circuit using the program provided by the instrument's manufacturer as case 1. The impedance values measured by HP4192 were also used for BVD calculation by applying IEEE 176-1987 as case 2. The impedance technique which is a new approach to estimate the reactance in low frequency wavelength (lower than resonance frequency) was case 3 for calculation of BVD circuit. The results of this technique (case 3) were then compared with those of other two alternative cases (case 1 and case 2) for accuracy analysis under controlled and varied temperatures of PZT as a case study. The influences of temperature on BVD parameters including R_1 , C_1 , C_0 and L_1 were also assessed in this study.

Keywords : PZT, BVD, impedance, resonance frequency, anti resonance frequency,

¹⁾ อาจารย์ ภาควิชาวิศวกรรมการวัดคุณ คณะวิศวกรรมศาสตร์ สถาบันเทคโนโลยีพระจอมเกล้าเจ้าคุณทหารลาดกระบัง 10520

²⁾ นักศึกษาทดลองเรียน ภาควิชาวิศวกรรมการวัดคุณ คณะวิศวกรรมศาสตร์ สถาบันเทคโนโลยีพระจอมเกล้าเจ้าคุณทหารลาดกระบัง 10520

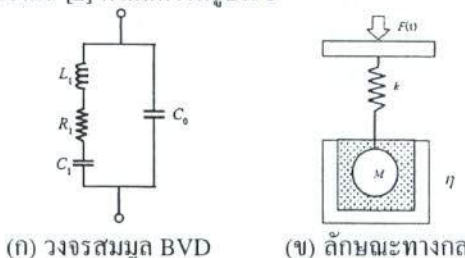
³⁾ รองศาสตราจารย์ ภาควิชาวิศวกรรมการวัดคุณ คณะวิศวกรรมศาสตร์ สถาบันเทคโนโลยีพระจอมเกล้าเจ้าคุณทหารลาดกระบัง 10520
(Tel: +66-2739-2407; Fax: +66-2739-2406; E-mail: kswitsar@kmitl.ac.th)

บทนำ

การเตรียมขั้นตอนของสาร PZT โดยการนำสารประกอบที่มีลักษณะเป็นผง 3 ชนิดคือ เหล็กออกไซด์ (PbO), เชอร์โโคเนียมไคลอออกไซด์ (ZrO₂) และไทเทเนียมไคลอออกไซด์ (TiO₂) ตามขั้นตอนของการสังเคราะห์สารเซรามิก โดยชั้งสารประกอบให้มีอัตราส่วนของ PbO : ZrO₂ : TiO₂ เท่ากับ 100 : 52 : 48 โดยไม่จะได้สาร PZT ในรูปเพ่งวงกลม ที่มีขนาดเส้นผ่าศูนย์กลาง 4 cm หนา 0.3 cm และที่ผิวน้ำทั้ง 2 ด้านเคลื่อนตัวไปทางเดิน โดยเตรียมตัวอย่างสาร PZT จำนวนทั้งหมด 5 ชิ้น ดังนี้ ชื่อ เป็น N01, N02, N03, N04 และ O01 แต่ในที่นี้จะทำการเปรียบเทียบเพียง 2 ตัวอย่าง ระหว่าง N01 กับ N04 จากนั้นทำการวัดคุณสมบัติต่างๆ ของสาร PZT ประกอบด้วย ค่าความหนาแน่น, ค่าคงที่ของ PZT, ค่าคงที่ทางไคลอเล็กทริกที่ความถี่ 1 kHz, ค่า electromechanical coupling coefficient (k_t) และค่า mechanical quality factor (Q_m)

ทฤษฎีและหลักการ

การออกแบบวงจร BVD เพื่อกระดับสาร PZT ให้ทำงานอย่างมีประสิทธิภาพ วงจรสมมูลจะประกอบด้วย ตัวด้านทาน (R_1) ต่ออนุกรมกับตัวเก็บประจุ (C_1) และลวดความนำ (L_1) ขนาดกับตัวเก็บประจุ (C_0) โดยเทียบได้กับคุณสมบัติทางกลคือลวดความนำเทียบได้กับมวลของลูกศุम ตัวเก็บประจุเทียบได้กับสปริง (k) และแรงเสียดทาน (b) เทียบได้กับตัวด้านทาน โดยพารามิเตอร์ของวงจร BVD มีค่าคงที่ไม่เปลี่ยนตามความถี่ [2] ดังแสดงในรูปที่ 1



รูปที่ 1 วงจรเปรียบเทียบคุณสมบัติของสาร PZT

จากวงจร BVD ในรูปที่ 1 (g) สามารถเขียนสมการพื้นฐานของค่าอิมพิแคนซ์สาร PZT ได้ดังสมการที่ (1)

$$Z = \frac{R_1 + j\left(\omega L_1 - \frac{1}{\omega C_1}\right)}{1 + j\omega\omega_0\left[R_1 + j\left(\omega L_1 - \frac{1}{\omega C_1}\right)\right]} \quad (1)$$

เมื่อพิจารณาการคำนวณโดยใช้ค่าอิมพิแคนซ์จากอัตราส่วนของตัวเก็บประจุ (r) ดังสมการที่ (2)

$$r = \frac{C_1}{C_0} = \frac{\omega_a^2 - \omega_r^2}{\omega_r^2} \quad (2)$$

เมื่อ ω_a คือความเร็วเชิงมุมที่ความถี่แอนติโซนันซ์,

$$\omega_a = 2\pi f_a$$

ω_r คือความเร็วเชิงมุมที่ความถี่เรโซนันซ์,

$$\omega_r = 2\pi f_r$$

จากวงจร BVD เมื่อเปรียบเทียบค่ารีแอคเคนซ์ของตัวเก็บประจุ (C_1) และตัวหนี่ยวน์ (L_1) ในวงจร BVD ในช่วงความถี่ต่ำๆ พบร่วมค่ารีแอคเคนซ์ของสาร PZT มีสภาพเป็นตัวเก็บประจุ ดังสมการที่ (3)

$$\frac{j}{\omega C_1} \gg j\omega L_1 \quad (3)$$

จากเงื่อนไขในสมการที่ (3) เมื่อนำไปพิจารณาร่วมกับสมการที่ (1) จะพบว่า

$$\left(R_1 + j\omega\omega_0 - \frac{j}{\omega C_1} \right) = \left(R - \frac{j}{\omega C_1} \right)$$

และสามารถเขียนสมการค่าอิมพิแคนซ์ของ PZT ได้ใหม่ดังสมการที่ (4)

$$Z = \frac{R_1 - \frac{j}{\omega C_1}}{\left[\frac{\omega_r^2 - \omega^2}{\omega_a^2 - \omega_r^2} \right] + jR\omega R_0} \quad (4)$$

จากสมการที่ (4) สามารถคำนวณหาค่า C_1 ได้โดยเลือกค่าอิมพิเดนซ์ที่วัดได้ ณ ความถี่ต่างๆ โดยมีความเร็วซิงกุมที่ความถี่ดังกล่าวเท่ากับ ω และที่ความถี่เร ใช้แทนค่า $|Z|$ และค่า R มีค่าเท่ากับ $|Z|$ ดังนั้นจึงสามารถหาค่า C_1 ได้จากสมการที่ (5)

$$C_1 = \frac{1}{\omega \sqrt{\left[\frac{\omega_r^2 - \omega^2}{\omega_a^2 - \omega_r^2} \right]^2 |Z|^2 - R^2}} \quad (5)$$

การทดสอบสาร PZT

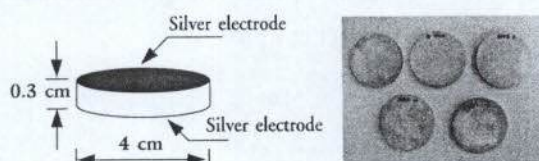
การทดสอบคุณสมบัติทางกายภาพของชิ้นงานที่ได้สังเคราะห์ขึ้นจะพิจารณาถึงความหนาแน่น ค่าคงที่ของ PZT (d_{33}) ค่า k_t และค่า Q_m จากค่าความจุไฟฟ้าที่ความถี่ 1 kHz ดังแสดงในตารางที่ 1

อุณหภูมิห้อง

การวัดค่าอิมพิเดนซ์ของสาร PZT ดังโครงสร้างในรูปที่ 2 เพื่อศึกษาถึงผลกระทบของอุณหภูมิที่มีต่อค่าอิมพิเดนซ์ของสาร PZT โดยเปรียบเทียบระหว่าง อุณหภูมิห้องกับอุณหภูมิความคุณที่ความถี่ต่างๆ กราฟใน

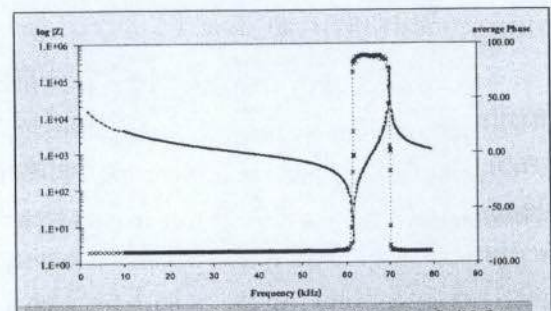
ตารางที่ 1 แสดงสมบัติทางกายภาพและทางไฟฟ้าของสาร PZT ชิ้นงานที่ N01 และ N04

PZT	Density	d_{33} (10^{-12} C/N)	C_f (nF)	K (F/m)	k_t	Q_m
N01	7.38	275	4.7888	1040		0.48
N04	7.40	271	3.6474	1016		0.51

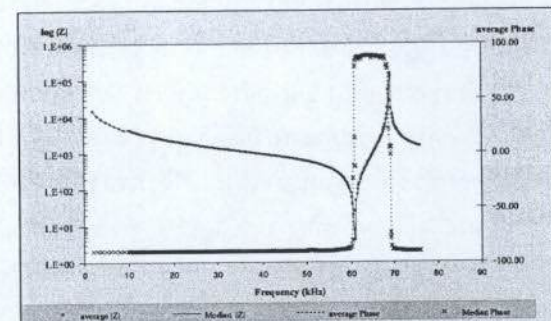


รูปที่ 2 ลักษณะโครงสร้าง PZT ที่สังเคราะห์ด้วยกระบวนการทางเชรานามิกแบบดึงดิบ

รูปที่ 3 และ 4 แสดงค่าอิมพิเดนซ์ PZT ของชิ้นงานที่ N01 และ N04 จากการวัดด้วยเครื่อง HP4192 ณ อุณหภูมิห้องที่ความถี่ 1kHz - 80kHz เป็นจำนวน 5 ครั้งของ การซ้ำๆ ตาม



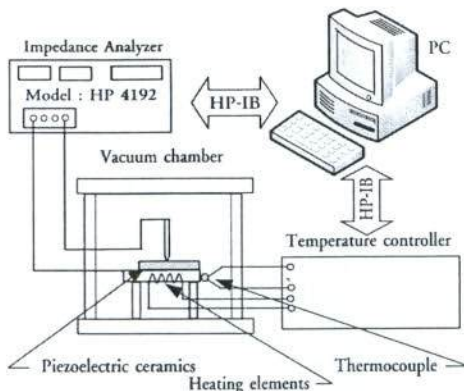
รูปที่ 3 ค่าอิมพิเดนซ์และเฟสที่ความถี่ 100 Hz - 80 kHz ของชิ้นงาน N01



รูปที่ 4 ค่าอิมพิเดนซ์และเฟสที่ความถี่ 100 Hz - 80 kHz ของชิ้นงาน N04

อุณหภูมิความคุณ

การวัดอิมพิเดนซ์ของสาร PZT ณ อุณหภูมิความคุณ สาร PZT จะถูกนำไปวางไว้บนแผ่นให้ความร้อนซึ่งอยู่ภายในตู้ที่มีสภาพเป็นสุญญากาศ การควบคุมอุณหภูมิทำโดยโปรแกรมที่เขียนบน HP Vee ผ่านทางพอร์ต HP-IB ดังรูปที่ 5 การวัดค่าอิมพิเดนซ์จะทำการเพิ่มอุณหภูมิตั้งแต่ 25°C จนถึง 230°C ที่ละ 20°C และบันทึกค่าอิมพิเดนซ์ ที่มีความถี่ตั้งแต่ 2KHz-8KHz ทั้งหมด 3 ครั้ง และนำค่าอิมพิเดนซ์ที่วัดได้ไปใช้คำนวณหาค่าความไม่แน่นอนของเครื่องวัดและสาร PZT



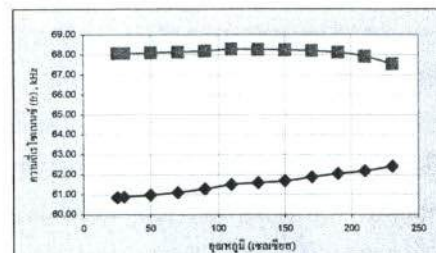
รูปที่ 5 ระบบการวัดค่าอิมพิเดนซ์ด้วยเครื่อง HP4192 ภายใต้สภาวะความถ่วงหนักภูมิ

ผลการทดสอบและวิเคราะห์สาร PZT

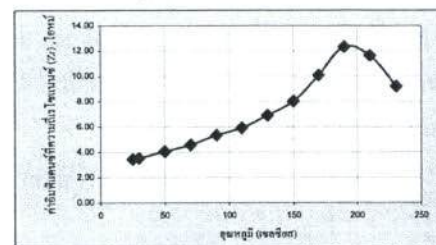
ผลจากการวัดค่าอิมพิเดนซ์ในสภาวะความถ่วงหนักภูมิของชิ้นงาน N01 ภายใต้สภาวะของอุณหภูมิที่กำหนด มีความใกล้เคียงกับการวัดค่าอิมพิเดนซ์ที่อุณหภูมิห้อง แต่มีการเลื่อนตำแหน่งของจุดความถี่เรโซแนนซ์และแอนด์เรโซแนนซ์โดยที่อุณหภูมิ 230°C ความถี่เรโซแนนซ์มีค่าเพิ่มมากขึ้นจากเดิม ประมาณ 1.6 kHz และความถี่แอนด์เรโซแนนซ์มีค่าลดลง ประมาณ 1 kHz นั่นคือความแตกต่างระหว่างความถี่เรโซแนนซ์และความถี่แอนด์เรโซแนนซ์มีค่าลดลงประมาณ 2.6 kHz ดังแสดงในรูปที่ 6 และเมื่ออุณหภูมิสูงขึ้นค่าอิมพิเดนซ์ที่ความถี่เรโซแนนซ์จะมีกำลังมากขึ้น จนถึงอุณหภูมิ 190°C ค่าอิมพิเดนซ์ที่รั่วลดลงเมื่ออุณหภูมินำมากขึ้นดังแสดงในรูปที่ 7

ผลการวิเคราะห์ความผันแปรของค่าอิมพิเดนซ์ที่ช่วง $100\text{ Hz} - 10\text{ kHz}$

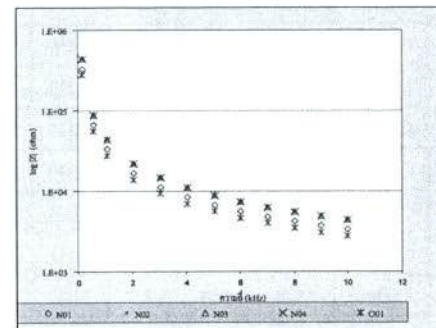
การทดสอบชิ้นงาน N01 และ N04 ในช่วงความถี่ $100\text{Hz} - 10\text{ kHz}$ เพื่อกำหนดทางร. BVD ตามวิธีอิมพิเดนซ์ โดยการวัดทั้งค่าเดิมจำนวน 30 ครั้ง ดังแสดงค่าเฉลี่ยและค่าเบี่ยงเบนมาตรฐานของอิมพิเดนซ์ในกราฟรูปที่ 8 และ 9 ตามลำดับ ซึ่งค่าเบี่ยงเบนมาตรฐานจะสูงในช่วงความถี่ต่ำและจะมีค่าลดลงเมื่อความถี่เพิ่มสูงขึ้น



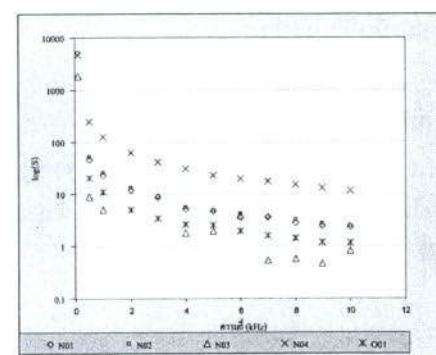
รูปที่ 6 ความถี่เรโซแนนซ์ของสาร PZT ที่อุณหภูมิต่างๆ



รูปที่ 7 ค่าอิมพิเดนซ์ที่ความถี่เรโซแนนซ์ของสาร PZT ที่อุณหภูมิต่างๆ



รูปที่ 8 ค่าเฉลี่ยช่วงความถี่ $100\text{ Hz} - 10\text{ kHz}$ ของชิ้นงาน N01, N02, N03, N04 และ O01



รูปที่ 9 ค่าเบี่ยงเบนมาตรฐานช่วงความถี่ $100\text{ Hz} - 10\text{ kHz}$ ของชิ้นงาน N01, N02, N03, N04 และ O01

ผลการคำนวณหาวงจร BVD โดยวิธีอิมพิเดนซ์

ค่าเฉลี่ยของความถี่เรโซแนนซ์ แอนด์เรโซแนนซ์ และค่าอิมพิแคนซ์ที่ความถี่เรโซแนนซ์จากการทดสอบเมื่อนำไปคำนวณหาพารามิเตอร์ของวงจร BVD โดยกำหนดความถี่ตั้งแต่ 0.1KHz-10KHz จะได้ค่าพารามิเตอร์ของ BVD ที่มีความแตกต่างกันคือ L ประมาณ 0.16 mH - 0.2 mH, C ประมาณ 0.018 nF - 0.040 nF, C ประมาณ 0.06 nF - 0.18 nF และ R มีค่าเท่ากันเนื่องจากใช้ค่าอิมพิแคนซ์ที่จุดความถี่เรโซแนนซ์เหมือนกัน ดังแสดงในตารางที่ 2

ตารางที่ 2 ผลการคำนวณค่าพารามิเตอร์ของวงจร BVD ชิ้นงาน N01 และ N04 โดยวิธีอิมพิเดนซ์

PZT	BVD	Frequency												σ
		0.1 (kHz)	0.5 (kHz)	1 (kHz)	2 (kHz)	3 (kHz)	4 (kHz)	5 (kHz)	6 (kHz)	7 (kHz)	8 (kHz)	9 (kHz)	10 (kHz)	
N01	C_o (nF)	3.870	3.850	3.850	3.840	3.840	3.850	3.860	3.870	3.880	3.890	3.910	3.930	0.090
	C_i (nF)	0.947	0.941	0.940	0.940	0.940	0.941	0.943	0.946	0.948	0.952	0.956	0.961	0.021
	L (mH)	7.146	7.190	7.199	7.203	7.202	7.192	7.179	7.159	7.142	7.112	7.079	7.044	0.159
	R (ohm)	3.331	3.331	3.331	3.331	3.331	3.331	3.331	3.331	3.331	3.331	3.331	3.331	0.000
N04	C_o (nF)	2.840	2.840	2.840	2.840	2.840	2.840	2.850	2.850	2.860	2.870	2.890	2.900	0.060
	C_i (nF)	0.804	0.806	0.805	0.804	0.805	0.806	0.808	0.809	0.811	0.814	0.818	0.822	0.018
	L (mH)	8.449	8.429	8.439	8.441	8.439	8.429	8.403	8.396	8.373	8.337	8.298	8.258	0.191
	R (ohm)	3.828	3.828	3.828	3.828	3.828	3.828	3.828	3.828	3.828	3.828	3.828	3.828	0.000

เมื่อ σ คือค่าเบี่ยงเบนมาตรฐาน

ผลกระทบต่อค่าพารามิเตอร์ของวงจร BVD เมื่ออุณหภูมิเปลี่ยนแปลง

เมื่อชิ้นงานถูกนำไปปаяงในตู้ควบคุมที่อุณหภูมิ 230°C ค่าพารามิเตอร์ C_i จะมีค่าลดลง 72% หรือ 0.726%/°C ทำให้ L เพิ่มขึ้นถึง 255% จึงสรุปได้ว่าอุณหภูมิมีผลกระทบต่องรังสีคงที่กับคุณสมบัติของสาร PZT ดังแสดงในตารางที่ 3

ตารางที่ 3 แสดงเปอร์เซ็นต์ค่าพารามิเตอร์ของวงจร BVD ที่เปลี่ยนไปเมื่อชิ้นงานมีอุณหภูมิสูงขึ้น 230°C

Parameter of BVD	% Difference	% Difference/ °C
R	167.0	0.726
C_i	-72.0	-0.313
L	255.0	1.109
C_o	18.1	0.079

สรุปผล

การสังเคราะห์สาร PZT เพื่อวิเคราะห์ค่าทางไฟฟ้า โดยการวัดค่าอิมพิแคนซ์และคำนวณค่าทางสถิติ พบว่าค่าความถี่เรโซแนนซ์และแอนด์เรโซแนนซ์สามารถวัดได้แม่นยำ ± 0.0033 kHz รอบค่ากลาง โดยมีค่าเบี่ยงเบนมาตรฐาน 0.00129 ทำให้มีความน่าเชื่อถือมากสำหรับการนำไปคำนวณหาวงจร BVD นอกจากนี้การคำนวณด้วยวิธีอิมพิแคนซ์ยังมีความใกล้เคียงกับวิธีของ IEEE 176-1987 และวิธีคำนวณจากเครื่องวัด HP4194 จากการตรวจสอบความถูกต้องของวงจร BVD โดยเปรียบเทียบค่าอิมพิแคนซ์ของวงจร

BVD ที่จำลองขึ้นกับค่าอิมพิแคนซ์ที่วัดได้ ผลคือค่าอิมพิแคนซ์ในช่วงความถี่เรโซโนนนซ์ของวงจร BVD ที่คำนวณด้วยวิธีอิมพิแคนซ์และวิธี IEEE 176-1987 มีความคลาดเคลื่อนประมาณ 2.37% ซึ่งน้อยกว่าวิธีของ HP4194 ที่มีความคลาดเคลื่อนประมาณ 4% ส่วนการทดลองทางผลกระทบทางด้านอุณหภูมิต่อคุณสมบัติของสาร PZT สรุปได้ว่าถ้าอุณหภูมิที่ทำงานสูงขึ้นจะมีผลทำให้ค่าความต่างของความถี่เรโซโนนนซ์และแอนติเรโซโนนนซ์ลดลงและมีค่าอิมพิแคนซ์ (Z) มากขึ้น ทำให้ค่าพารามิเตอร์ของวงจร BVD ที่คำนวณได้มีค่าเปลี่ยนแปลงก็อ C_1 มีค่าลดลงแต่ R_1 , L_1 และ C_0 มีค่าเพิ่มขึ้น

เอกสารอ้างอิง

- [1] Chalermchai Jeerapan, Witsarut Sriratana, Prasit Julsereewong, Sart Kummoor “Analysis of Appropriate Parameters for Piezoelectric Ceramic Utilization by Using BVD Model”, **ICCAS2005, International Conference on Control, Automation and System**, Gyeonggi-Do, Korea, June 2-5, 2005
- [2] S. Sherrit, H. D. Wiederick, B. K. Mukherjee “Accurate Equivalent Resonators”, pp.931-935, 1997.
- [3] An American National Standard **IEEE Standard on Piezoelectricity 176-1987**
- [4] Bernard Jaffe, William R. Cook, Jr. and Hans Jaffe, “**Piezoelectric Ceramics**”, pp.31-35, 1971.
- [5] J. G. Smits, “Iterative method for accurate determination of real and imaginary parts of the materials coefficients of piezoelectric ceramics”, **IEEE Trans. Sonics Ultrason.**, vol. SU-23, pp. 393-402, 1976.
- [6] Q. C. Xu, A. R. Ramachandran, and R. E. Newnham, “Resonance measuring technique for complex coefficients of piezoelectric composites”, **J. Wave-material Interaction, vol. 2**, pp. 105-122, 1987.
- [7] Standard Definitions and Method of Measurement for Piezoelectric vibrators, **IEEE No.177 May 19**

